BIOLÓGICAS No. 8, pp. 102-129, 2006 Publicado por la Facultad de Biología de la Universidad Michoacana de San Nicolás de Hidalgo

SECCIÓN ESPECIAL

Potenciamiento traduccional mediado por la región líder del gen Sacarosa Fosfato Sintasa de arroz (sps1).

Miguel Martínez Trujillo, Yazmín Carreón Abud

Facultad de Biología, Universidad Michoacana de San Nicolás de Hidalgo, Morelia, Michoacán, México.

Correo electrónico: codigogenetico@gmail.com

RESUMEN

El gen sps1, que codifica para la Sacarosa Fosfato Sintasa de arroz tiene un 5'UTR (líder) inusualmente largo de 368 nucleótidos, con una estructura secundaria compleja. La eliminación de la región líder promotor nativo sps1 disminuve la expresión in vivo del gen reportero GUS en 10 veces. La inserción del líder hacia abajo (3') pero no hacia arriba (5') del promotor -46(35S) CaMV en la orientación correcta produce un potenciamiento de la expresión equivalente al conferido en el promotor nativo sps1. Este potenciamiento de la expresión es observado usando tanto expresiones transitorias in vivo en hojas de tabaco como en plantas establemente transformadas de Arabidopsis. El líder sps1 además incrementa el nivel de expresión del gen reportero en los promotores fuertes 35S del Virus del Mosaico de la Coliflor y del Virus del Mosaico de la Vena de la Yuca, aunque en un menor nivel con relación a promotores débiles. Estudios de transcripción y de traducción in vitro usando transcritos del gen uidA con y sin el líder muestran que esta región potencia la traducción por más de tres veces. Análisis de deleciones del líder sps1 muestran que el potenciamiento in vivo se conserva totalmente cuando se eliminan 85 bases del extremo 5' y se reduce a la mitad cuando se eliminan 148 bases de ese extremo; la eliminación de 190 bases del extremo 3' conserva dos terceras partes de la actividad potenciadora del líder. Estos resultados sugieren que existe redundancia en elementos de secuencia o estructurales del líder sps1 involucrados en la traducción del ARN mensajero.

ABSTRACT

The sps1 gene, encoding the sucrose phosphate synthase in rice has an unusually long 5' untranslated region (leader) of 368 nt with a complex predicted secondary structure. Elimination of the leader from the native sps1 promoter diminishes the in vivo expression of the GUS reporter gene by 10-fold. Insertion of the leader downstream, but not upstream, of the -46(35S) CaMV promoter in the correct orientation produces an expression enhancement equivalent to that conferred in the sps1 native promoter. This expression enhancement is observed using both in vivo transient expressions in tobacco leaves and in stably transformed Arabidopsis plants. The sps1 leader also enhances the level of reporter gene expression in the strong 35S CaMV and Cassava Vein Mosaic Virus promoters, albeit at a lower level than in weaker promoters. In vitro transcription and translation studies using transcripts of the *uidA* gene, with and without the sps1 leader, show that the sps1 5' untranslated region enhances translation over three-fold. Deletion analysis of the sps1 leader showed that in vivo enhancement is totally conserved in the 5' $\Delta 85$ and diminished by half in the 5' Δ 148: the deletion 3' Δ 190 conserves two thirds of the enhancement, suggesting redundancy in sequence elements.

INTRODUCCIÓN

La mayoría de las especies vegetales utilizan la sacarosa como el compuesto central para movilizar foto asimilados de los tejidos fuente a los y consumidores. movilizar para reservas los teiidos de almacenamiento durante germinación de las semillas, debido probablemente a sus propiedades de alta solubilidad y baja reactividad (Giaquinta 1980). La sacarosa es sintetizada por la acción de la Sacarosa Fosfato Sintasa (SPS; EC 2.3.1.14) la cual transfiere el grupo glucosil de la UDP-Glucosa a Fructosa-6-P para producir Sacarosa-6-P, la cual es posteriormente desfosforilada por una Sacarosa 6-fosfato Fosfatasa (SPP; EC 3.1.3.00) generando sacarosa como el producto final para hacer la reacción

prácticamente irreversible (Huber y Huber 1996). Se ha demostrado que la actividad de la SPS es altamente regulada tanto a nivel transcripcional post-transcripcional. como actividad enzimática de SPS regulada por modificación covalente, fosforilándose en la oscuridad para producir enzima menos activa v defosforilándose en presencia de luz para generar una enzima más activa (Stitt et al. 1988). La SPS es regulada además por interacciones alostéricas, como ha sido demostrado en maíz, espinaca, arroz, papa y mezquite, donde la glucosa-6-Fosfato activa la enzima y el fosfato inorgánico la inhibe (Amir y Preis 1982, Doehlert y Huber 1983, Kalt-Torres et al. 1987, Salerno et al. 1998, Reimholz et al. 1994, Sinha et al. 1997). Los ADNs

complementarios que codifican para SPS han sido aislados de maíz (Worrell et al. 1991) y otras plantas, permitiendo el estudio de la regulación genética y la utilización de estrategias biotecnológicas.

La regulación de SPS a nivel transcripcional ha sido demostrada en análisis de Northern blot v por fusiones de genes reporteros usando el promotor sps1 de arroz. Se ha reportado un incremento de los ARN mensaieros de SPS durante desarrollo de la hoja de espinaca (Klein 1993) v durante la maduración de frutos de mandarina, plátano v kiwi, lo cual se relaciona con la síntesis de sacarosa (Komatsu et al. 1996, Oliveira et al. 1997, Langenkämper et al. 1998). El promotor sps1 de arroz dirige una expresión en las hoias regulada por luz limitada a células activas fotosintéticamente, comenzando en los ápices de las hojas en desarrollo y extendiéndose gradualmente a la base. siguiendo la transición del tejido consumidor al teiido fuente. Durante la germinación de las semillas de arroz la actividad del promotor sps1 de arroz se encuentra restringida al escutelo, donde la síntesis de sacarosa tiene lugar para apoyar el crecimiento del desarrollo embrión en (Chávez-Bárcenas et al. 2000, Martínez-Trujillo 2002).

La región 5' del gen *sps*1 de arroz consiste de un promotor atípico sin cajas TATA y CCAAT en la posición usual y un líder largo de 368 nucleótidos (Sakamoto et al. 1995, Valdez-Alarcón et al. 1996, Chávez-Bárcenas et al. 2000). Se ha propuesto que la expresión específica de tejido y

durante el desarrollo, conferida por el promotor *sps1*, es determinada por la presencia de secuencias de ADN que han sido relacionados previamente con respuesta a luz y hormonas. Se desconoce sin embargo, si hay mecanismos que operen a nivel de la estabilidad del ARN mensajero o de la traducción, para regular el nivel de SPS.

Los 5' UTRs (líderes) en genes de plantas y de animales son normalmente cortos v se encuentran en el rango de 20 a 100 nucleótidos (Joshi 1987, Kozac 1987). Regiones líderes largas han sido estudiadas en genes de virus y algunos genes de plantas y animales, v en varios casos se ha demostrado que tienen una influencia en la expresión de los genes ya sea al nivel transcripcional o traduccional. Los mecanismos por los cuales las secuencias de los líderes 5' funcionan pueden ser agrupados de la siguiente manera: a) Presencia de marcos de lectura cortos (uORFs) en la región líder, los cuales son usualmente inhibitorios, debido a aue traducidos y reducen la iniciación de la traducción en el codón de inicio principal ubicado hacia abajo (3') (Fütterer v Hohn 1996). Ejemplos de este mecanismo incluven el gen Opaque-2 (O2) que codifica para un factor de transcripción en maíz, el gen Lc de maíz implicado en la biosíntesis de antocianina y los genes pma1 y pma3, que codifican para ATPasas que protones bombean en Nicotiana plumbaginifolia, (Lohmer et al. 1993, Damiani y Wesler 1993, Michelet et al. 1994, Lukaszewicz et al. 1998); b) Potenciamiento traducción de la

mediada por 5'UTRs, solos o en colaboración por regiones demostrado principalmente en genes virales y en algunos genes de plantas (Fütterer v Hohn 1996). Eiemplos de este mecanismo incluven el Virus del Mosaico de la Alfalfa (AMV) (Jobling v Gehrke 1987), Virus del Mosaico del Tabaco (TMV) (Gallie et al. 1987, Leathers et al. 1993), Virus del Grabado del Mosaico del tabaco (TEV) (Carrington y Freed 1990, Gallie et al. 1995b). Virus Satélite de la Necrosis de Tabaco (SNTV) (Timmer et al. 1993, Meulewaeter et al. 1998), Virus X de la Papa (PVX) (Zelenina et al. Potyvirus de mosaico de 1992). naciente del chícharo (PsbMv) (Nicolaisen et al. 1992), gen psaDb del fotosistema de Nicotiana sylvestris (Yamamoto et al. 1995), gen adh1 de la alcohol deshidrogenasa de maíz (Bailey-Serres v Dawe 1996), gen lat52 de tomate con expresión en polen (Bate et al. 1996), gen hsp70 de maíz con expresión durante choque térmico (Pitto et al. 1992) y un gen de α amylasa (Gallie y Young 1994); c) La presencia de potenciadores transcripcionales o silenciadores ha sido documentada en algunos genes de plantas. Por ejemplo, en los genes PsaF, PetE and PetH (que codifican para la subunidad III del fotosistema I, plastocianina oxido-reductasa y NADP+ de ferredoxina) donde los líderes incrementan la transcripción (Bolle et al. 1994) y el gen lat59 de tomate en que la transcripción es disminuida (Curie v McCormick 1997) v d) Presencia de elementos en la secuencia del ADN que modifican la estabilidad del ARN mensajero, como

por ejemplo los líderes del gen de ferredoxina-1 (*Fed-1*) de chícharo, el gen *Lhcb1*4* de chícharo y un gen de respuesta a choque térmico de *Daucus carota* (Dickey et al. 1998, Anderson et al. 1999, Gallie et al. 1995a).

Casos complejos donde el líder estabilización v influencia la traducción eficiencia de se han reportado para el gen At-P5R de Arabidopsis involucrado la en biosíntesis de prolina, en el gen ntp303 de tabaco v en el gen psbD de Chlamydomonas reindhardtii, codifica para el polipéptido D2 que sirve como centro de reacción en el fotosistema II (Hua et al. 2001.Hulzink et al. 2002, Nickelsen et al. 1999).

Considerando que el líder *sps1* es inusualmente largo y presenta una estructura secundaria compleja (figura 1), se planteó determinar si esta región juega un papel en la regulación del nivel de SPS a nivel transcripcional o post transcripcional. En este trabajo se muestra que el líder *sps1* actúa como un potenciador de la traducción tanto *in vivo* como *in vitro*. Análisis de deleciones del líder *sps1* sugieren que hay secuencias redundantes que están involucradas en esta función.

MATERIALES Y MÉTODOS

Amplificación por PCR de fragmentos del líder sps1

Las endonucleasas de restricción y la T4 ADN ligasa fueron de GIBCO-BRL, y se utilizaron siguiendo las recomendaciones del fabricante. Para la reacción en cadena de la polimerasa se utilizó eLONGase® Enzyme Mix de LIFE TECHNONLOGIES, también

siguiendo las recomendaciones del fabricante Las reacciones de amplificación se hicieron un termociclador Perkin Elmer, GenAmp, System PCR 2400. Todos productos de PCR fueron clonados inicialmente en el vector pGEMTeasy (PROMEGA) antes de ser subclonados en otros plásmidos.

Plásmidos y construcción de vectores

Los plásmidos pBS46S and pBS90S son derivados de pBluescript (STRATAGENE) y contienen versiones truncadas -46 v -90 del promotor 35S del virus del Mosaico de la Coliflor, fusionados al gen uidA y el terminador nos (Argüello 1996). Estas del promotor versiones son mencionadas en este trabajo como --90(35S). Una fusión 46(35S) v traduccional del promotor sps1, el líder, primer exón, primer intrón v parte del segundo exón, a la región codificadora del gen uidA, se llevó a insertando cabo fragmento un genómico de sps1 obtenido por EcoRI (-2195 to +676) a partir de una clona genómica de plásmido, y un fragmento EcoRI-BamHI de pBI101.3 (CLONTECH), conteniendo secuencia codificadora de uidA y el terminador nos, en pBluescript II KS plasmid. Este plásmido fue denominado pSPS1. **Fusiones** transcripcionales del promotor sps1 con y sin el líder sps1 fueron fusionadas al gen uidA reemplazando el fragmento del promotor -46(35S) presente en pBS46S por los fragmentos -2195 a +368 y -2195 a +20 de sps1 generados por PCR. Los plásmidos

fueron denominados pSPS2 y pSPS3, respectivamente.

Los plásmidos que contienen el líder spsî hacia arriba (5') y hacia abajo (3') del promotor -46(35S) fueron producidos insertando la región líder de 368 bases en los sitios de restricción KpnI y HindIII ó BglII de pBS46S. Los vectores generados fueron denominados como pUTR46 y p46UTR, respectivamente. Otro vector construido con la región líder en el sentido opuesto y hacia abajo (3') del promotor -46(35S) fue denominado p46UTR-INV. La región líder también insertó hacia arriba (5') del promotor –90(35S) usando el plásmido pBS90S y los sitios de restricción KpnI-HindIII. El vector generado se denominó pUTR90.

Se generaron vectores conteniendo la región líder sps1 entre el promotor del Virus del Mosaico de la Yuca v el gen uidA así como entre el promotor 35S del Virus del Mosaico de la Coliflor y el gen uidA. Los plásmidos fueron producidos insertando la región líder sps1 de 368 pares de bases en el sitio BglII de pILTAB380 (Verdaguer et al. 1996) o el sitio XbaI de pBI121 (Jefferson et al. 1987), respectivamente. plásmidos Los generados se denominaron pCAS-UTR y p35S-UTR, respectivamente.

Deleciones de la región líder sps1 clonadas entre el promotor -46(35S) y el gen uidA y terminador nos. Los fragmentos del líder con las deleciones fueron generados por PCR. La versión del líder 5'Δ85 fue obtenida usando los oligonucleótidos

5'GCAGATCTCGTCCACCAAGCC ACGGACTC-3' y

5'GCAGATCTCTCTCGATCAGCCG ATGCTCTC-3': la deleción 5'Δ148 con los oligonucleótidos 5'GCAGATCTTTTGATACGTGGTA CGTGACGC-3' 5'GCAGATCTCTCTCGATCAGCCG ATGCTCTC-3': v la deleción 3'Δ190 con los oligonucleótidos 5'GCAGATCTCACCCGCCAGCCTC CCTCTC-3' 5'GCAGATCTCAAAGCGTCACGT ACCACGTATC-3'. Los fragmentos finales fueron clonados en el sitio BglII de pBS46S. Los plásmidos fueron p46UTR∆85, denominados p46UTRΔ190-3. p46UTR∆148 y respectivamente.

Promotor T7 fusionado al gen uidA y terminador nos. El gen uidA y el terminador nos fueron obtenidos de pBI101.3 cortando con EcoRI y BamHI y clonando en los mismos sitios en pBluescript KS . La construcción tiene el promotor del virus T7 fusionado al gen uidA y terminador nos. Entre el sitio de inicio de transcripción y el ATG del gen uidA hay 54 pares de bases. El vector generado fue denominado como pT7-GUS

Promotor T7 fusionado al líder sps1 gen uidA v terminador nos. El fragmento de ADN con la fusión del líder sps1, gen uidA y terminador nos, fue obtenido de p46UTR (este trabajo), cortando con XhaI insertando en el mismo sitio en pBluescript KS. La construcción con la orientación correcta tiene el promotor T7 fusionado al líder sps1, gen uidA y terminador nos. El vector generado fue denominado pT7UTR-GUS

Vector binario con el promotor -46(35S) fusionado al gen uidA y terminador nos. El fragmento de ADN con el promotor -46(35S) fusionado al gen uidA y terminador nos fue obtenido cortando pBS46S con HindIII y BamHI e insertando en los sitios HindIII-BamHI de pCAMBIA2300. El vector generado fue denominado p46BIN.

Vector binario con el promotor –46(35S) fusionado al líder sps1, gen uidA y terminador nos. El vector p46UTR fue digerido con HindIII y BamHI y el fragmento liberado fue clonado en los sitios HindIII-BamHI de pCAMBIA2300. El vector generado fue denominado p46UTR-BIN.

Las secuencias del contexto de los inicios de transcripción, y traducción, así como las secuencias intermedias, para cada uno de los plásmidos utilizados en este trabajo se muestran en la tabla 1.

Secuenciación de ADN

Todas las construcciones con *sps1* fueron verificadas por secuenciación por el método de terminación de cadenas con dideoxinucleótidos (Sanger et al. 1977) usando nucleótidos fluorescentes (ABI) y el secuenciador ABI PRISMTM 374.

Expresión transitoria de GUS y GFP en hojas de tabaco

Los plásmidos que contienen las diferentes construcciones *sps1* 5' UTR fueron introducidos en hojas de tabaco (*Nicotiana tabacum* cv *xanthi*) mediante bombardeo con micro partículas. El plásmido, pCKGFPS65C (Reichel et al. 1996),

con el gen que codifica para la proteína verde fluorescente bajo la expresión del promotor 35S del CaMV, fue mezclado con los plásmidos uidA, como un estándar interno v las diferencias de normalizar experimentos de bombardeo. El área de bombardeo de las hojas de tabaco en cada caja de Petri fue de 4 cm². El procedimiento fue el descrito por Cabrera-Ponce et al. (1995). Las hoias de tabaco en el medio MS fueron bombardeadas usando aparato el BioRad Helium-driven PDS-1000/He, y una presión de 900 psi. Las hojas de tabaco fueron incubadas durante 36 horas a 28 °C en la oscuridad v posteriormente analizadas para expresión proteína de la verde fluorescente. Las hojas de tabaco fueron transferidas a cajas de Petri para ser teñidas con x-gluc e incubadas a 37 ^oC por 12 horas. Los puntos azules de la expresión de GUS fueron contados usando un microscopio estereoscópico. Las células con expresión de GFP contadas fueron usando microscopio Leica DMRE con un filtro I3 (excitador de luz azul BP 450-490 nm; separador de rayos RKP 510 nm; emisor LP 515 nm).

Estandarización y análisis estadístico de la expresión transitoria

Para cada construcción *uidA* se bombardearon 10 muestras de hoja para disminuir el efecto de variación en los bombardeos. La relación de puntos azules/verdes fluorescentes se determinó en cada una de las muestras bombardeadas y para cada bloque de construcciones bombardeadas la construcción con la relación mayor se

consideró como 100%; las otras relaciones fueron ajustadas proporcionalmente. La media y el intervalo de confianza fueron calculados utilizando el software SPSS 10.0 para Windows.

Extracción de ARN y RT-PCR.

Plantas de Arabidopsis de 10 días de edad fueron utilizadas para extraer el ARN total usando el método reportado en Schuler et al. (1989), el cual fue tratado con DNaseI. El ARN (1 սջ) fue usado transcripción reversa usando 200 U del kit Superscript II plus Rnase H Reverse Transcriptase (Gibco BRL) y 10 μM (dT)₁₅, de acuerdo a las recomendaciones del fabricante. Los oligonucleótidos

5'TCAGCGTTGGTGGGAAAGCG3' y 5'GCGTTGCTTCCGCCAGTGG3' fueron utilizados para amplificar un fragmento de 1201 pares de bases correspondiente al gen *uidA*. Se realizaron pruebas con 10, 15, 20, 25 y 30 ciclos para determinar el número mínimo de ciclos en que se podían realizar cuantificaciones confiables del fragmento generado y en la etapa final se utilizaron 20 ciclos

Transcripción y traducción in vitro

Los plásmidos pT7-GUS y pT7UTR-GUS fueron linearizados cortando en el extremo del terminador nos, con EcoRI o BamHI, respectivamente. El kit RiboMAXTM (PROMEGA) fue utilizado de acuerdo a las instrucciones del fabricante. La integridad del ARN se determinó corriendo una muestra en un gel de agarosa al 0.8%, tiñendo con bromuro

de etidio y visualizando en un transiluminador de luz UV. El ARN fue cuantificado en un espectrofotómetro a una longitud de onda de 260 nm.

Los transcritos de uidA con y sin el líder sps1 fueron traducidos in vitro utilizando un kit de extracto de germen trigo (PROMEGA) siguiendo metionina. recomendaciones del fabricante. En todos los casos se observó un solo producto de traducción in vitro v mediante el uso de marcadores de peso molecular Benchmark (GIBCO-BRL) se corroboró la migración de la proteína codificada por uidA. Para detectar y cuantificar la radioactividad incorporada en la proteína uidA, el gel fue secado y expuesto durante 12 horas cassette Phosphoimager DYNAMICS). (MOLECULAR utilizó un STORM (MOLECULAR DYNAMICS) para hacer un barrido del cassette con la impresión de la radioactividad y se usó el software ImageQuantTM (MOLECULAR DYNAMICS) para cuantificar radioactividad incorporada, que se reportó como volúmenes.

Transformación y selección de *Arabidopsis*

Los vectores p46BIN y p46UTRintroducidos fueron BIN en Agrobacterium tumefaciens. cepa GV2260 (McBride v Summerfelt 1990) por electroporación usando un electromanipulador BTX600. siguiendo las recomendaciones del fabricante. El fragmento de T-ADN de los vectores binarios se introdujo en Arabidopsis thaliana (ecotipo C24)

utilizando el método de floral dip (inmersión floral) (Clough y Bent 1998) optimizado por Martínez-Trujillo et al. (2004). La inoculación de Arabidopsis con Agrobacterium se repitió 3 veces cada 5 días para incrementar la eficiencia transformación. La progenie resultante seleccionada colocando semillas durante 7 días en medio MS sólido con sacarosa al 1% kanamicina a una concentración de 50 ug/ml

Expresión de GUS en plantas de Arabidopsis y hojas de tabaco

Plantas de Arabidopsis transformadas de 10 días de edad con 4 hojas fueron utilizadas para la tinción histoquímica con x-gluc durante 12 horas a 37 °C de acuerdo a Stomp (1992); se eliminó la clorofila com metanol-acetona (3:1) y se preservaron las muestras en glicerol al 50%. El mismo procedimiento fue utilizado para hojas de tabaco bombardeadas. Hojas de plantas transformadas de Arabidopsis de 21 días de edad fueron separadas y las fracciones proteicas fueron obtenidas de acuerdo a Martín et al (1992); posteriormente se realizaron ensayos fluorométricos para cuantificar la actividad de GUS (Gallagher 1992).

Estructura secundaria del ARN

Para predecir la estructura secundaria del ARN del líder completo y de las versiones deletadas se utilizó el software RNA *mfold version 3.1* de Zuker y Turner de la Universidad de Washington (Zuker et al. 1999).

RESULTADOS

Efecto de la presencia del líder *sps1* en el nivel de expresión dirigido por el promotor *sps1*.

Aunque la región del promotor es la responsable del nivel de expresión en la mayoría de los genes, en algunos casos el líder y la región codificadora expresión influenciar nueden la genética a nivel transcripcional o post transcripcional. Para determinar si el líder o el primer intrón del gen sps1 de arroz iuegan un papel determinación del nivel de expresión de este gen, se determinó la expresión dirigida por los vectores pSPS3, pSPS2 y pSPS1, que contienen al promotor solo (-2185 a +20), al promotor y al líder (-2185 a +368) y al promotor, líder y los primeros dos exones con un intrón de por medio (-2185 a +676), fusionados al gen reportero uidA y con el terminador nos. Los niveles de expresión conferidos por las regiones mencionadas fueron determinados por expresión transitoria ensavos de usando el método de bombardeo con micro partículas. Con el propósito de obtener más información cuantitativa acerca de la expresión conferida por las diferentes construcciones de SPS, los vectores con las fusiones del gen sps1 fueron mezclados cada uno de ellos con pCKGFPS65C, un plásmido que contiene la región codificadora de la proteína verde fluorescente (GFP) bajo el control del promotor 35S. La reproducibilidad fue del sistema incrementada utilizando cobombardeo, de manera que el intervalo confianza en 10 muestras bombardeadas se redujo del 25% a la mitad, cuando el control interno de GFP fue utilizado y la relación de puntos azules/células fluorescentes fue calculada (datos no mostrados). Este procedimiento fue utilizado en todos los experimentos de bombardeo.

Se observó que la remoción de los dos exones y el primer intrón no tienen efecto en la expresión conferida por sps1 (Figura 2). Sin embargo, la eliminación del líder disminuye el nivel de expresión de GUS conferido por la región sps1 en aproximadamente 10 veces. Estos resultados indican que la región líder juega un papel importante en la determinación del nivel de expresión conferido por el promotor sps1.

Efecto transcripcional del líder *sps1* hacia arriba (5') de promotores heterólogos

efecto observado El en la expresión conferida por el promotor sps1 al eliminar la región líder sugiere que esta secuencia podría afectar la genética expresión al nivel transcripcional o post transcripcional. Para determinar si el líder sps1 tiene actividad de potenciador una transcripcional, se clonó esta secuencia hacia arriba (5') de los promotores -46(35S) v -90(35S) en la orientación original (pUTR46 and pUTR90). Estas versiones truncadas del promotor 35S han sido utilizadas por su baja actividad para identificar fragmentos de ADN que contienen elementos potenciadores. Como nuede observarse en la figura 3, la inserción del líder hacia arriba (5') de los promotores -46(35S) y -90(35S) no tiene efecto en el nivel de expresión de GUS. Estos resultados sugieren que el líder *sps1* no presenta una actividad de potenciador transcripcional y que podría actuar al nivel post transcripcional.

El líder *sps1* incrementa la expresión de la versión –46 del promotor 35S

Considerando que el líder sps1 no tiene una actividad de potenciador transcripcional, es posible que pudiera incrementar la expresión genética actuando al nivel post transcripcional. Para determinar si el líder sps1 influencia la expresión genética cuando se le coloca en la parte del gen que se transcribe, esta secuencia se insertó hacia abajo (3') del promotor –46(35S) El promotor – en ambos sentidos. 46(35S) se escogió para determinar el efecto del líder sps1 considerando que un efecto al nivel post transcripcional puede ser detectado más fácilmente cuando se utiliza un promotor débil. El análisis del efecto del líder sps1 expresión mediante ensayos de transitoria, muestra que existe un incremento en la expresión de 10 veces cuando esta región es insertada hacia abajo (3') del promotor-46(35S) en el sentido natural (figura 4A). El líder en el sentido opuesto no tiene efecto en la expresión del promotor -46 (35S).

El efecto del líder *sps1* en el incremento de la expresión del promotor –46(35S) es similar a la reducción de la expresión conferida por el promotor *sps1* cuando esta región es eliminada. Estos resultados y el hecho que el líder *sps1* no puede actuar como potenciador transcripcional, sugiere que el líder

sps1 contiene elementos reguladores capaces de incrementar la expresión genética al nivel post transcripcional.

Considerando que el promotor -46(35S) es débil, se analizó si el líder podía además influenciar el nivel de expresión conferido por promotores fuertes. Con este propósito se insertó el líder sps1 en el sentido original, entre la versión completa (400 pb) del promotor 35S del Virus del Mosaico de la Coliflor y la región codificadora del gen uidA (p35S-UTR); lo mismo se hizo utilizando el promotor del Virus del mosaico de la Vena de la Yuca (CVMV) (pCAS-UTR) (Verdaguer et al. 1996). Se ha reportado que el promotor CVMV tiene una actividad transcripcional fuerte y ensayos en nuestro laboratorio muestran que este promotor confiere un nivel expresión similar al del promotor 35S (datos no mostrados). Se determinó que el líder sps1 es capaz de incrementar el nivel de expresión conferido tanto por el promotor 35S como por el promotor CVMV en aproximadamente el 30% (Figuras 4B v 4C). El efecto del líder sps1 en promotores fuertes fue observado en varios experimentos independientes v significativo. Estos resultados muestran que el líder sps1 es capaz de incrementar el nivel de expresión conferido genética tanto por promotores débiles como por promotores fuertes, aunque en diferentes grados de activación.

Para confirmar que los resultados observados usados en ensayos de expresión transitoria verdaderamente reflejan un efecto del líder *sps1* en condiciones fisiológicas, decidimos

analizar el efecto en plantas transformadas. Los vectores binarios p46UTR-BIN V p46BIN. aue contienen el promotor -46(35S)fusionado al gen uidA con v sin la región líder sps1 en el sentido correcto, fueron construidos y usados para producir líneas de **Arabidopsis** transformadas establemente. Los histoquímicos de **GUS** ensavos mostraron que las líneas transgénicas de Arabidopsis transformadas con p46UTR-BIN tuvieron niveles de actividad de GUS mayores con relación a las líneas transformadas con p46BIN que carecen del líder sps1 (Figura 5A). Para cuantificar el nivel de actividad de GUS en las plantas conteniendo las fusiones génicas con y sin el líder sps1, se obtuvieron extractos proteicos de 20 líneas transformadas con cada construcción y se procesaron para realizar ensavos fluorométricos. Se observó que la actividad promedio de GUS en las líneas que contenían la región sps1 es aproximadamente 13 veces mayor con relación a la actividad observada en las líneas que no llevan la región líder (Figura 5B). Estos resultados son bastante consistentes con los datos obtenidos usando ensavos de expresión transitoria. La variación grande que se observó en los niveles de expresión entre las líneas transformadas con la misma construcción es probablemente a efectos de posición en el genoma vegetal, lo cual ha sido reportado previamente en transformadas con promotores débiles v regiones líderes (Curie y McCormick 1997).

El líder *sps1* aumenta la eficiencia de traducción

Nuestros datos muestran que el sps I puede incrementar expresión genética tanto en ensavos de expresión transitoria como en plantas transformadas establemente. determinar si el líder sps1 influencia niveles de transcritos. determinaron los niveles de ARN del gen uidA mediante la técnica de RT-PCR de dos pasos usando ARN total proveniente de plantas de Arabidopsis transformadas con p46BIN o p46UTR-BIN. Considerando que cada línea transgénica puede tener diferentes niveles de ARN mensajero del gen uidA, se extrajo el ARN total de una mezcla de 40 plantas de 10 días de para cada una de construcciones y así normalizar mensajero producido. cuantificó por espectrofotometría el ADN del fragmento de 1201 nucleótidos generado en las reacciones de 20 ciclos para 4 experimentos diferentes y la relación obtenida de las muestras provenientes de plantas sin v plantas con líder aproximadamente 1 (Figura 6). Estos resultados muestran que en promedio las construcciones uidA con y sin el líder sps1 producen niveles similares de transcritos uidA y por lo tanto esta región no tiene una influencia en la estabilidad a nivel del ARN mensajero en las plantas utilizadas de 10 días de edad.

Para determinar si el líder *sps1* actúa en el nivel de la eficiencia de traducción del ARN mensajero, se llevaron a cabo experimentos de traducción *in vitro*. Con este propósito

se generaron construcciones en las cuales la región codificadora del gen uidA se fusionó al promotor viral T7. v en uno de los casos el líder sps1 se insertó entre el promotor T7 y el gen uidA (pT7-GUS and pT7UTR-GUS). Usando estos plásmidos se generaron transcritos del gen uidA con y sin la región líder sps1, mediante un sistema de transcripción in vitro dependiente de T7 (Figura 7A). Para determinar la eficiencia de traducción a partir de estos dos tipos de transcritos se utilizó un sistema de traducción in vitro basado en extractos de germen de trigo y ³⁵S metionina; a diferentes muestras de reacción se adicionaron por separado cantidades iguales de cada uno de los transcritos uidA. En ambos casos se obtuvo un solo producto de traducción de un peso molecular aproximado al que se ha reportado para la proteína glucuronidasa (68 259 Da) (Fig 7B). Se midió la ³⁵S metionina incorporada en el producto de traducción utilizando un cassette Phosphorimager y un STORM. Se observó que la cantidad de ³⁵S metionina incorporada en el producto de traducción uidA veces mayor en las muestras que contenían el transcrito con el líder sps1 con relación a las muestras con el transcrito sin el líder sps1 (Fig 7C). Estos resultados muestran que el líder sps1 funciona como un potenciador traduccional

Análisis de deleciones del líder sps1

Para determinar si una región específica del líder *sps1* es responsable del efecto potenciador, se generaron las deleciones 85 y 148 del extremo 5' y

190 del extremo 3' y se insertaron en el sentido correcto hacia abajo (3') del -46(35S)promotor (p46UTRΔ85, p46UTRΔ148 v p46UTR190-3). Estos plásmidos fueron usados en ensayos de expresión transitoria para determinar el efecto de las diferentes versiones del líder sps1 en la expresión conferida por el promotor -46(35S). La figura 8 muestra que la eliminación de los primeros 85 nucleótidos del líder no el disminuven potenciamiento conferido por el líder completo. La eliminación de 148 bases conserva la actividad del líder en aproximadamente el 50% y la eliminación de 190 bases del extremo 3' la conserva en dos terceras partes. Estos resultados sugieren que existe redundancia en elementos de secuencia o estructurales del líder sps1 involucrados en la traducción del ARN mensajero.

DISCUSIÓN

presencia de un líder inusualmente largo en el gen sps1 sugiere un papel en la regulación de la expresión de este gen, como ha sido determinado en algunos genes virales y Se ha reportado que las vegetales. secuencias largas de líderes tienen va sea un efecto positivo o negativo en la expresión genética, y pueden actuar a transcripcional nivel post transcripcional. El análisis de la secuencia del líder sps1 mostró una ausencia de marcos de lectura abiertos lo cual descarta eventos de traducción hacia arriba (5') del codón de iniciación y efectos inhibitorios debido a este proceso. Sin embargo, un análisis de la estructura secundaria del líder sps1 muestra una estructura

bastante estable de -106.8 Kcal/mol (figure 1B) con varias regiones de tallo v asa. Las estructuras en la región 5' no codificadora usualmente tienen un efecto inhibitorio en la traducción del ARN mensaiero. Por eiemplo. inserción de una estructura de tallo y asa con una estabilidad de -50 Kcal/mol en una región líder sintética reduce la traducción hasta en 20 veces (Kozac 1990), presumiblemente al afectar la migración de la subunidad ribosomal 40S. Además, una reducción en la estabilidad de una horquilla en el líder del ARN mensajero del gen Lc gene de maíz, de -15.6 a -5.4 Kcal/mol, incrementó la traducción del gen reportero de luciferasa en 8.3 veces (Wang y Wessler 2001). En este trabajo reportamos que la eliminación del líder sps1. bastante estructurado v estable. disminuve la expresión conferida por el promotor sps1 hasta en 10 veces, lo que demuestra que el líder sps1 tiene un efecto estimulador y no inhibidor en la expresión.

La observación de que el líder sps1 incapaz de activar transcripción de las versiones truncadas -46 y -90 del promotor 35S, cuando se coloca hacia arriba (5') de estos promotores, sugiere que la actividad potenciadora de secuencia no es debida a la presencia de elemento potenciador transcripcional. Además, el hecho de que el líder sps1 es capaz de incrementar la expresión genética sólo cuando se coloca en el sentido correcto hacia abajo (3') de un promotor, sugiere que la secuencia del líder sps1 debe ser parte del ARN mensajero para potenciar la expresión genética al nivel post transcripcional. Además, demostramos que el efecto del líder *sps1* es similar cuando se evalúa en ensayos de expresión transitoria usando bombardeo con mico partículas como en plantas de *Arabidospsis* transformadas.

E1efecto observado en el potenciamiento de la expresión genética mediada por el líder sps1 in vivo, se presenta tanto en promotores débiles como fuertes, aunque diferentes grados, ya que en promotor débil –46(35S) el incremento es de 10 a 13 veces, mientras que en los promotores fuertes CaMV 35S v CVMV el incremento es de 0.3 veces. Aunque diferencia del la. potenciamiento in vivo conferido por el líder sps1 en promotores débiles con relación a promotores fuertes es muy significativa cuando se considera en términos relativos. el incremento absoluto en la expresión de GUS es aproximadamente el mismo considerando promotores que los fuertes utilizados son al menos 50 veces más fuertes que el promotor -46(35S), como ha sido demostrado previamente (Odell et al. 1985, Fang et al. 1989) y corroborado en nuestro laboratorio utilizando ensavos transitorios (datos no mostrados). Estos resultados sugieren mecanismo mediante el cual el líder sps1 incrementa la expresión genética depende de uno o más factores presente(s) en cantidades limitadas, lo cual restringe la actividad del líder sps1 in vivo al llegar a cierto nivel. Considerando que el promotor sps1 confiere un nivel de expresión débil, similar al del promotor -46(35S), la influencia del líder *sps1* puede tener efectos significativos al regular los niveles de SPS.

algunos Aunque líderes son capaces de incrementar varias veces la expresión de promotores fuertes a nivel traduccional como en el caso del CaMV 35S (Nicolaisen et al. 1992, Day et al. 1993, Poogin v Skryabin 1992). estos 5' UTRs principalmente de origen viral v de manera natural se encuentran regulando promotores fuertes. Además, estos 5' UTRs deben funcionar en circunstancias donde son producidos altos niveles de transcritos v es necesario que compitan con ARN mensaieros celulares en periodos cortos. Probablemente en estos casos los factores específicos requeridos para potenciar el mecanismo de traducción son diferentes a los que se requieren para la actividad del líder sps1. De cualquier manera, la magnitud del incremento en la expresión conferido por el líder sps1 in vivo es suficiente para jugar un papel importante en el contexto del gen sps1 y sugiere que los mecanismos de regulación transcripcionales pueden jugar papel adicional en la acumulación de SPS v síntesis de sacarosa (Chávez-Barcenas et al. 2000, Stitt et al. 1988, Doehlert y Hubber 1983).

La traducción más eficiente (más de 3 veces) conferida por el líder sps1 en el sistema de traducción in vitro demuestra que este elemento actúa al síntesis proteínas. nivel de de Adicionalmente al efecto en eficiencia de traducción. algunas secuencias de líderes alteran estabilidad del ARN mensajero, como

es el caso de las secuencias de los líderes del gen *psBD* de *Chlamydomonas reindhardtii* y del gen *At-P5R* de *Arabidopsis* (Nickelsen et al. 1999, Hua et al. 2001). Sin embargo, los experimentos de RT-PCR realizados demuestran que para el caso del líder *sps1* esta secuencia no tiene un efecto importante en la estabilidad del ARN mensajero.

El efecto del líder sps1 en la expresión genética se observó sólo cuando este elemento fue colocado en su orientación nativa hacia abajo (3') de un promotor y no cuando fue colocado en la orientación inversa. Considerando que la estabilidad de las estructuras secundarias es similar para ambas orientaciones del líder spsî (-106 y −108 Kcal/mol), proponemos específicos elementos estructura-secuencia la V no estabilidad, son los determinantes de la actividad del líder sps1 al incrementar la eficiencia de traducción. Análisis de deleciones del líder sps1 mostraron varias regiones de este elemento capaces de incrementar la expresión dirigida por el promotor -46(35S), sugiriendo que secuencias las importantes en el funcionamiento del sps1 redundantes son distribuidas a lo largo de esta región. La redundancia de secuencias en regiones líderes ha sido observada en el Virus del Mosaico del Tabaco, donde la secuencia ACAAUUAC(A) se encuentra repetida 2 ó 3 veces (dependiendo de la cepa) y la secuencia (CCA)n se repite en hilera en una región de 24 nucleótidos; ambas secuencias son esenciales para la actividad del líder Ω del Virus del

Mosaico del Tabaco en el incremento de la eficiencia traduccional (Gallie v 1992). Walbot Otro caso redundancia de secuencias se encuentra en el líder del gen ntp303 involucrado en la eficiencia de traducción, donde se encuentran 8 copias de un elemento (GAA)n (Hulzink et al. 2002). El análisis de la secuencia del líder sps1 (figura 1A) muestra repetidos (TC) en regiones secuencia 5 de esta Considerando que en las diferentes versiones del líder sps1 truncadas existe al menos un repetido (TC), es posible que estos repetidos estén involucrados en el mecanismo que determina un incremento eficiencia de traducción. El líder del gen psaDB de Nicotiana sylvestris que potencia la traducción contiene la secuencia TCTCTC (Yamamoto et al. 1995).

Se ha sugerido que la manera en la cual un líder influencía la eficiencia de traducción puede ser va sea por una afinidad relativa mayor o por un menor requerimiento de componentes limitantes de la maquinaria traduccional (Jobling y Gehrke 1987. Timmer et al. 1993, Wang et al. 1997). Las secuencias líderes pueden actuar va sea pasivamente al no presentar barreras para el proceso de barrido de la subunidad ribosomal 40S o bien por un mecanismo activo a través de un factor regulador que actúa en trans. Este último mecanismo se ha estudiado en el Virus del Mosaico del Tabaco, donde el líder Ω interacciona con una proteína de 102 kDa (Tanguay y Gallie 1996) que ha sido identificada como la proteína celular HSP101 inducible por choque térmico. HSP101 funciona

como una proteína potenciadora de la traducción v su actividad es regulada negativamente por limitación nutrientes sin que se afecte su función de tolerancia a altas temperaturas (Wells et al. 1998). La misma proteína HSP101 se une al elemento interno regulado por luz del ARN mensajero ferredoxina (Fed-1),responsable en este caso del alto nivel de traducción en condiciones normales de temperatura y permite escapar de la traduccional represión а temperaturas (Ling et al. 2000). La posible existencia de un factor que interaccione con el líder sps1 no ha sido dilucidada v requiere de investigación adicional.

REFERENCIAS

Amir, J. y J. Preiss. 1982. Kinetic characterization of spinach leaf sucrose-phosphate synthase. Plant Physiology 69: 1027-1030.

Anderson, M.B., K. Folta, K.M. Warpeha, J. Gibbons, J. Gao y L.S. Kaufman. 1999. Blue light-directed destabilization of the pea *Lhcb1*4* transcript depends on sequences within the 5' untranslated region. Plant Cell 11:1579-1589.

Argüello, A.G. 1996. Delimitación y experimental teórica módulos de control transcripcional y replicativo en identificación plantas: de unidades mínimas de fotorrespuesta. Tesis Doctoral, Centro de Investigación Estudios Avanzados del IPN. Irapuato, Guanajuato, México.

- Bailey-Serres, J. y R.K. Dawe. 1996.

 Both 5' and 3' sequences of maize adh1 mRNA requires both enhanced translation under low-oxygen conditions.

 Plant Physiology 112:685-695.
- Bate, N., C. Spurr, G.D. Foster, y D. Twell. 1996. Maturation-specific translational enhancement mediated by the 5'-UTR of a late pollen transcript. Plant J. 104: 613-623.
- Bolle, C., S. Sopory, T. Lübbersedt, R.G. Herrmann y R. Oelmüller. 1994. Segments encoding 5'-unstranslated leaders of genes for thylakoid proteins contains cis-elements essential for transcription. Plant J. 6: 513-523.
- Cabrera-Ponce, J.L., A. Vegas-García y L. Herrera-Estrella. 1995. Herbicide resistant transgenic papaya plants produced by an efficient particle bombardment transformation method. Plant Cell Reports 15: 1-7.
- Carrington, J.C. y D. D. Freed. 1990.

 Cap-independent enhancement of translation by a plant potyvirus 5' nontranslated region. J. Virol. 64:1590-1597.
- Chávez-Bárcenas, A.T., J.J. Valdez-Alarcón, M. Martínez-Trujillo, L. Chen, B. Xoconostle-Cázares, W.J. Lucas y L. Herrera-Estrella. 2000. Tissue-specific and developmental pattern of expression of the rice *sps1* gene. Plant Physiology 124: 641-653.
- Clough, S. y A.F. Bent. 1998. Floral dip: a simplified method for *Agrobacterium*-mediated

- transformation of *Arabidopsis* thaliana. Plant J. 16: 735-743.
- Curie, C. y S. Mccormick. 1997. A strong inhibitor of gene expression in the 5' untranslated region of the pollen-specific *LAT59* gene of tomato. Plant Cell 9: 2025-2036.
- Damiani, R.D. y S. Wessler. 1993. An upstream open reading frame represses expression of *Lc*, a member of the R/B family of maize transcriptional activators. PNAS USA 90: 8244-8248.
- Day, M.J.D., J.L. Ashurst, S.F. Mathias, J.W. Watts, T.M.A. Wilson y R.A. Dixon. 1993. Plant viral leaders influence expression of a reporter gene in tobacco. Plant Mol. Biol. 23: 97-109.
- Dickey, L.F., M.E. Petracek, T.T. Nguyen, E.R. Hansen v W.F. Thompson. 1998. Light regulated Fed-1 mRNA requires an element in the 5' untranslated region and correlates with differential polyribosome association. Plant Cell 10: 475-484.
- DOEHLERT, D.C. y S.C. HUBER. 1983. Spinach leaf sucrose phosphate synthase. Activation by glucose 6-phosphate and interaction with inorganic phosphate. FEBS 153: 293-297.
- FANG, R.X., F. NAGY, S. SIVASUBRAMANIAM y N.H. CHUA. 1989. Multiple cis regulatory elements for maximal expression of the cauliflower mosaic virus 358

- **promoter in transgenic plants.** Plant Cell 1: 141-150.
- Fütterer, J. y T. Hohn. 1996.

 Translation in plants-rules and exceptions. Plant Mol. Biol. 32:158-189.
- Gallagher, S. R. 1992. Quantitation of GUS activity by fluorometry. In S.R. Gallagher (Ed), GUS protocols: using the GUS gene as a reporter of gene expression, Academic Press, San Diego CA, pp 103-113.
- GALLIE, D.R. y V. WALBOT. 1992.

 Identification of the motifs
 within the tobacco mosaic virus
 5' -leader responsible for
 enhancing translation. Nucl.
 Acids Res. 20: 4631-4638.
- GALLIE, D.R. y T.E. YOUNG. 1994. regulation The of gene expression transformed in maize aleurone and endosperm protoplasts. Analysis of promoter activity, intron enhancement, mRNA and untranslated region expression. Plant Physiology 106: 929-939.
- Gallie, D. R., C. Caldwell y L. Pitto. 1995a. Heat shock disrupts cap and poly (A) tail function during translation and increases mRNA stability of introduced reporter mRNA. Plant Physiology 108:1703-1709.
- Gallie, D.R., D. E. Sleat, J. W. Watts, P.C. Turner y A. Wilson. 1987.

 The 5'-leader sequence of tobacco mosaic virus RNA enhances the expression of foreign gene transcripts in vitro

- **and** *in vivo*. Nucl. Acids Res. 15: 3257-3273
- Gallie, D. R., R. L. Tanguay y V. Leathers. 1995b. The tobacco etch viral 5' leader and poly (A) tail are functionally synergistic regulators of translation. Gene 165: 233-238.
- Giaquinta, R. T. 1980. **Translocation of sucrose and oligosaccharides.**In RT Giaquinta (Ed), The
 Biochemistry of Plants, Academic
 Press, San Diego, CA. pp 271317
- Hua, X. J., B. Van De Cotte, M.V. Montagu y N. Verbruggen. 2001. The 5' untranslated region of the *At-P5R* gene is involved in both transcriptional and post-transcriptional regulation. Plant J. 26:157-169.
- Huber, S. C. y J. L. Huber. 1996. Role and regulation of sucrose-phosphate synthase in higher plants. Annu. Rev. Plant Physiol. & Plant Mol. Biol. 47: 431-444.
- Hulzink, R. J. M., P. F. M. De Groot, A. F. Croes, W. Quaeddvlieg, D. Twell, G.J. Wullems y M.A. Van Herpen. 2002. The 5' unstranslated region of the ntp303 gene strongly enhances translation during pollen tube growth, but not during pollen maduration. Plant Physiology 129:1-12
- Jefferson, R. A., T. A. Kavanagh y M. W. Bevan. 1987. GUS fusions: β-glucuronidase as a sensitive and versatile gene fusion marker in higher plants. EMBO J. 6: 3901-3907.

- Jobling, S. A. y L. Gehrke. 1987.

 Enhanced translation of chimaeric messenger RNAs containing a plant viral untranslated leader sequence.

 Nature 325: 622-625.
- Joshi, C. P. 1987. An inspection of the domain between putative TATA box and translation start site in 79 plant genes. Nucl. Acids Res. 15: 6643-6653.
- Kalt-Torres, W., P. S. Kerr y S. C. Huber. 1987. Isolation and characterization of multiple forms of maize leaf sucrose-phosphate synthase. Physiologia Plantarum 70: 653-658.
- Klein, R. R., J. Crafts-Brandner y M. E. Salvucci. 1993. Cloning and developmental expression of the sucrose-phosphate synthase gene from spinach. Planta 190: 498-510.
- Komatsu, A., Y. Takanokura, M. Omura y T. Akihama. 1996. Cloning and molecular analysis of cDNAs encoding three sucrose phosphate synthase isoforms from citrus fruit (Citrus unshiu Marc.). Planta 189: 329-339.
- Kozak, M. 1987. An analysis of 5'noncoding sequences from 699 vertebrate messenger RNAs. Nucl Acids Res 15: 8125-8132.
- Kozac, M. 1990. **Downstream** secondary structure facilitates recognition of initiator codons by eucariotic ribosomes. PNAS USA 87: 8301-8305.
- Langerkämper, G., R. Mchale, R.C. Gardner y E. Macrae. 1998. Sucrose-phosphate synthase

- steady-state mRNA increases in ripening kiwifruit. Plant Mol. Biol. 36: 857-869.
- Leathers, V., R. Tanguay, M. Kobayashi y D. R. Gallie. 1993. A phylogenetically conserved sequence within viral 3' untranslated RNA pseudoknots regulates translation. Mol. Cell Biol. 13: 5331-5347.
- Ling, J., D. R. Wells,, R. T. Tanguay, L. F. Dickey, W. F. Thompson y D. Gallie. 2000. **Heat shock** protein **HSP101** binds to the Fed-1 internal light regulatory element and mediates its high translational activity. Plant Cell 12: 1213-1227.
- Lohmer, S., M. Maddaloni, M. Motto, F. Salamini y R. Thompson. 1993. **Translation of the mRNA** of the maize transcriptional activator *Opaque-2* is inhibited by upstream open reading frames present in the leader sequence. Plant Cell 5: 65-73.
- Lukaszewicz, M. B. Jérouville y M. Boutry. 1998. Signs of translational regulation within the transcript leader of a plasma membrane H⁺ -ATPase gene. Plant J. 14: 413-423.
- Martin, T., R.V. Wöhner, S. Hummel, L. Willmitzer y W.B. Frommer. 1992. The GUS reporter system as a tool to study gene expression. In Gallagher (Ed), GUS protocols: using the GUS gene as a reporter of gene expression, Academic Press, San Diego CA, pp 103-113.
- Martínez-Trujillo, M. 2002. **Análisis functional de regions**

- involucradas en la expresión del gen Sacarosa-Fosfato Sintasa de arroz (*Oryza sativa* L.). Tesis de Doctorado. CINVESTAV-IPN, Unidad Irapuato. Irapuato, Guanajuato, México.
- Martínez-Trujillo, M. V. Limones-Briones, J. L. Cabrera-Ponce y L. Herrera-Estrella. 2004.

 Improving transformation efficiency of Arabidopsis thaliana by modifying the floral dip method. Plant Mol. Biol. Rep. 2: 63-70.
- Mcbride, K.E. y K.R. Summerfelt. 1990. **Improved binary vectors for Agrobacterium-mediated plant transformation.** Plant Mol. Biol. 14: 269-276.
- Meulewaeter, F., M.V. Van Montagu y M. Cornelissen. 1998. Features of the autonomous function of the translational enhancer domain of satellite tobacco necrosis virus. RNA 4: 1347-1356.
- Michelet, B., M. Lukaszewicz, V. Dupriez y M. Boutry. 1994. A plant plasma membrane proton-ATPase gene is regulated by development and environment and shows signs of a translational regulation. Plant Cell 6: 1375-1389.
- Nickelsen, J., M. Fleischmann, E. Boudreau, M. Rahire y J.D. Rochaix. 1999. Identification of cis-acting RNA leader elements required for chloroplast psbD gene expression in Chlamydomonas. Plant Cell 11: 957-970.

- Nicolaisen, M., E. Johansen, G.B. Poulsen y B. Borkhardt. 1992. The 5' untranslated region of pea seedborne mosaic potyvirus RNA as a translational enhancer in pea and tobacco protoplasts. FEBS 303:169-172.
- Odell, J. T., F. Nagy Y N. H. Chua. 1985. **Identification of DNA** sequences required for activity of the cauliflower mosaic virus 358 promoter. Nature 313: 810-812.
- Oliveira Do Nascimento, J. R., B. R. Cordenunsi, F. M. Lajolo y M. J. C. Alcocer. 1997. Banana sucrose phosphate synthase gene expression during fruit ripening. Planta 203: 283-288.
- Pitto, L., D. R. Gallie v V. Walbot. 1992 Role of the leader during sequence thermal repression of translation in maize, tobacco and carrot protoplasts. Plant Physiology 100:1827-1833.
- Poggin, M. M. y K. G. Skryabin. 1992. The 5'-unstranslated leader sequence of potato virus X RNA enhances the expression of a heterologous gene *in vivo*. MGG 234: 329-331.
- Reichel, C., J. Mathur, P. Eckes, K. Langenkemper, C. Koncz, J. Schell, B. Reiss y C. Maas. 1996. Enhanced green fluorescence by the expression of an *Aequorea victoria* green fluorescent protein mutant in mono and dicotyledonous plant cells. PNAS USA 93: 5888-5893.
- Reimholz, R., P. Geigenberger y M. Sttit. 1994. **Sucrose-phosphate**

- synthase is regulated via metabolites and protein phosphorylation in potato tubers, in manner analogous to the enzyme in leaves. Planta 192: 480-488.
- Sakamoto, M., T. Satozawa. N. Kishimoto, K. I. Higo, H. Shimada v T. Fujimura. 1995. Structure and RFLP mapping of a rice sucrose phosphate synthase (SPS) gene that is specifically expressed in the source organ. Plant Science 112: 207-217.
- Salerno, G., G. Pagnussat y H. Pontis. 1998. **Studies on sucrose phosphate synthase from rice leaves.** Cell Mol. Biol. 44: 407-416.
- Sanger, F., S. Niclen y A. R. Coulson. 1977. **DNA sequencing with chain-terminating inhibitors.** PNAS USA 74: 5463-5467.
- Schuler, M.A. y R.E. Zielinski. 1989.

 Methods in Plant Molecular
 Biology. Academic Press Inc.,
 San Diego CA.
- Sinha, A.K., U. Pathre y P.V. Sane. 1997. Purification and characterization of sucrose phosphate synthase from *Prosopis* juliflora. Phytochemistry. 46: 441-447.
- Stitt, M., I. Wilke, R. Feil y W. Heldt. 1988. Coarse control of sucrose phosphate synthase in leaves: Alterations of the kinetic properties in response to the rate of photosynthesis and the accumulation of sucrose. Planta 174: 217-230.

- Stomp, A. M. 1992. **Histochemical localization of β-glucuronidase.** In S.R. Gallagher (Ed), GUS protocols: using the GUS gene as a reporter of gene expression. Academic Press, San Diego CA, pp 103-113.
- Tanguay, R. y D. Gallie. 1996.

 Isolation and characterization
 of the 102-Kilodalton RNAbinding protein that binds to
 the 5' and 3' translational
 enhancers of Tobacco Mosaic
 Virus RNA. J. Biol. Chem.
 271:14316-14332.
- Timmer, R.T., L.A. Benkowski, D. Schodin, S.R. Lax, A.M. Metz, J.M. Ravel y K.S. Browning. 1993. The 5' and 3' untranslated regions of satellite tobacco necrosis virus RNA affect translational efficiency and dependence on a 5' cap structure. J. Biol. Chem. 268: 9504-9510.
- Valdéz-Alarcón, J. J., M. Ferrando, G. Salerno, B. Jiménez-Moraila y L. Herrera Estrella. 1996.

 Characterization of a rice sucrose-phosphate synthase-encoding gene. Gene 170: 217-222.
- Verdaguer, B. A. De Kochko, R.N. Beachy y C. Fauquet. 1996.

 Isolation and expresión in transgenic tobacco and rice plants, of the cassava vein mosaic virus (CVMV) promoter. Plant Mol. Biol. 31:1129-1139.
- Wang, L. y S. Wessler. 2001. Role of mRNA secondary structure in translational repression of the

- **maize transcriptional activator** *Lc.* Plant Physiology 125: 1380-1387.
- Wang, S., K. S. Browning y W.A. Miller. 1997. A viral sequence in the 3'-untranslated region mimics a 5' cap in facilitating translation of uncapped mRNA. EMBO J. 16:4107-4116.
- Wells, D. R., R. L. Tanguay, H. Le y D. R. Gallie. 1998. HSP101 functions as a specific translational regulatory protein whose activity is regulated by nutrient status. Genes & Dev. 12: 3236-3251.
- Worrell, A. C., J. M. Bruneau, K. Summerfelt, M. Boersig y T.A. Voelker. 1991. Expression of a maize sucrose phosphate synthase in tomato alters leaf carbohydrate partitioning. Plant Cell 3: 1121-1130.
- Yamamoto, Y., H. Tsuji y J. Obokata. 1995. **5'-leader of a photosystem**

- I gene in *Nicotiana sylvestris*, *psaDb*, contains a translational enhancer. J. Biol. Chem. 270: 12466-12470.
- Zelenina, D. A., O. I. Kulaeva, E. V. Smirnyagina, A. G. Solovyev, N. A. Miroshnichenko, O. N. Fedorkin, N. P. Rodionova, S. Y. Morozov y J. G. Atabekov. 1992.

 Translation enhancing properties of the 5'-leader of potato virus X genomic RNA. FEBS 3: 267-270.
- Zuker, M., D. H. Mathews y D. H. Turner. 1999. Algorithms and Thermodynamics for RNA Secondary Structure Prediction: A Practical Guide. In J. Barciszewski, J. and B.F.C. Clark, B.F.C. (Eds), RNA Biochemistry and Biotechnology, Kluwer Academic Publishers pp. 11-43.

Potenciamiento traduccional mediado por la región líder del gen...

Tabla 1. Secuencias de las diferentes construcciones utilizadas en la región de iniciación de transcripción y traducción, así como secuencias intermedias. En la secuencia de iniciación de transcripción el nucleótido de inicio +1 se representa en negritas, y en la secuencia de inicio de traducción el codón de inicio AUG también se representa en negritas. En la secuencia intermedia los nucleotidos entre paréntesis y en negritas corresponden a la secuencia del líder. La secuencia con un asterisco representa el único caso donde el contexto del codón de iniciación del gen sps1 fue utilizado, puesto que esta construcción consiste en una fusión traduccional.

Construccione	Contexto del inicio de	Secuencia intermedia	Contexto del sitio de inicio de
plásmidos	transcripción		traducción
pBS46S	AGAGGACGAC C	tgcagatctctagaagctgactctagaggatccccgggtaggtcagtc	CTTATGTTACGT
pBS90S	AGAGGACGAC C	tgcagatctctagaagctgactctagaggatccccgggtaggtcagtc	CTTATGTTACGT
pUTR46	AGAGGACGAC C	tgcagatctctagaagctgactctagaggatccccgggtaggtcagtc	CTT ATG TTACGT
pUTR90	AGAGGACGAC C	tgcagatctctagaagctgactctagaggatccccgggtaggtcagtc	CTTATGTTACGT
p46UTR	AGAGGACGAC C	tgcagatct [líder of 368 nt] agatetetagaagetgaetetagaggateeeegggtaggteagtee	CTTATGTTACGT
p46UTR-INV	AGAGGACGAC C	tgcagatct [líder of 368 nt invertido] agatctctagaagctgactctagaggatccccgggtaggtcagtcc	CTTATGTTACGT
p46UTR∆85	AGAGGACGAC C	tgcagatct [lÍder Δ85 of 273 nt] agatctctagaagctgactctagaggatccccgggtaggtcagtcc	CTTATGTTACGT
p46UTR∆148	AGAGGACGAC C	tgcagatct [líder Δ148 of 220 nt] agatctctagaagctgactctagaggatccccgggtaggtcagtcc	CTTATGTTACGT
p46UTR∆190-3	AGAGGACGAC C	tgcagatc [lÍder Δ190-3 of 178 nt] agatctctagaagctgactctagaggatccccgggtaggtcagtcc	CTTATGTTACGT
p46BIN	AGAGGACGAC C	tgcagatctctagaagctgactctagaggatccccgggtaggtcagtc	CTTATGTTACGT
p46UTR-BIN	AGAGGACGAC C	tgcagatct [líder of 368 nt] agatctctagaagetgactctagaggatccccgggtaggtcagtcc	CTTATGTTACGT
pBI121	AGAGGACTCTA	gaggatccccgggtggtcagtcc	CTT ATG TTACGT
p35S-UTR	AGAGGACTCTA	ga [lÍder of 368 nt] tetagaggateceegggtggteagtee	CTTATGTTACGT
pILTAB380	GTTT G TAGATC	No sequence	TCCATGGTCCGT
pCAS-UTR	GTTTGTAGATC	t [lÍder of 368 nt] agate	TCCATGGTCCGT
pT7-GUS	TCGAGGTGGC	cggtggcggccgctctagaactagtggatccccgggtggtcagtcc	CTTATGTTACGT
pT7UTR-GUS	TCGAGGTGGC	cggtggcggccgctctaga [lider of 368 nt] tctagaggatccccgggtggtcagtcc	CTTATGTTACGT
pSPS1	GCCACGTGT	[líder of 368 nt]	GAGATGGCGGG G *
pSPS2	GCCACGTGT	[líder of 368 nt] agatetetagaagetgaetetagaggateeeegggtaggteagtee	CTTATGTTACGT
pSPS3	GCCACGTGT	[cacccgccagcctcc] agatetetagaagetgactetagaggateeccgggtaggteagtee	CTTATGTTACGT

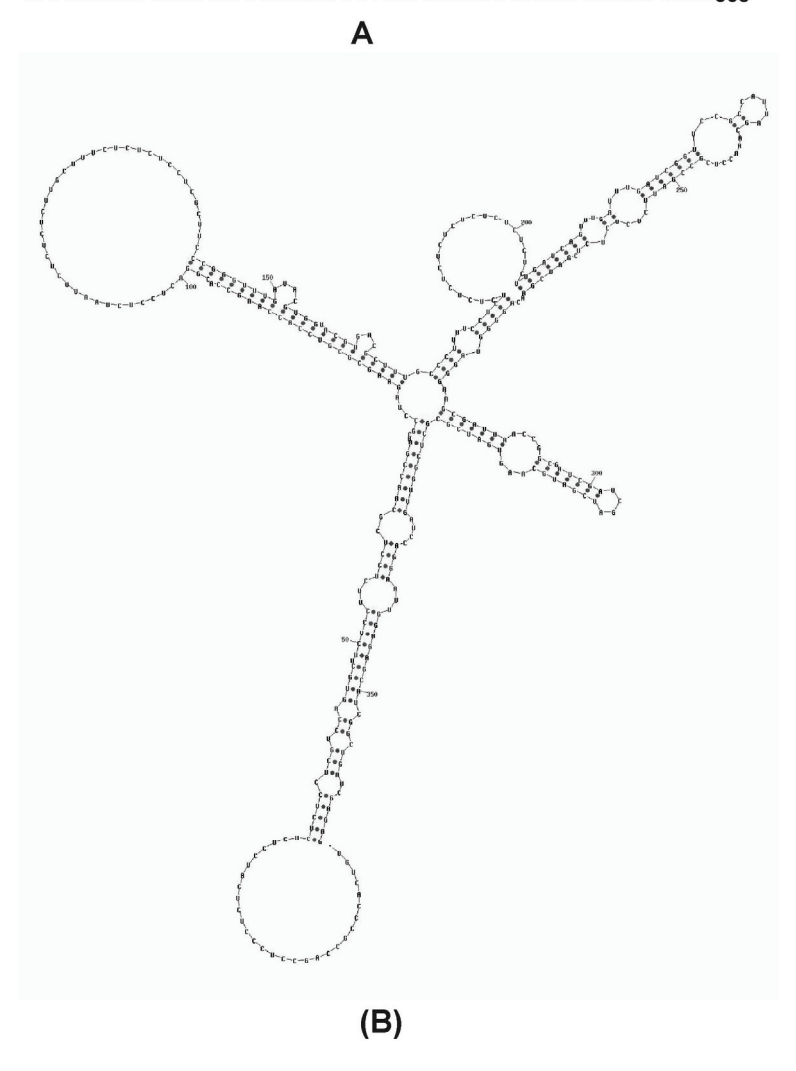


Figura 1. Secuencia del líder sps1 y predicción de la estructura secundaria. A) El líder sps1 tiene 368 nucleótidos y se secuenció de acuerdo a como se describe en materiales y métodos. Existen varias secuencias repetidas (TC) que pueden ser elementos potenciales que intervienen en la función del líder. B) La estructura secundaria del líder sps1 conforma una estructura estable (-106.6 Kcal/mol) con varias regiones de tallo y asa. La estructura secundaria y la estabilidad fue determinada de acuerdo a Zuker et al. (1999).

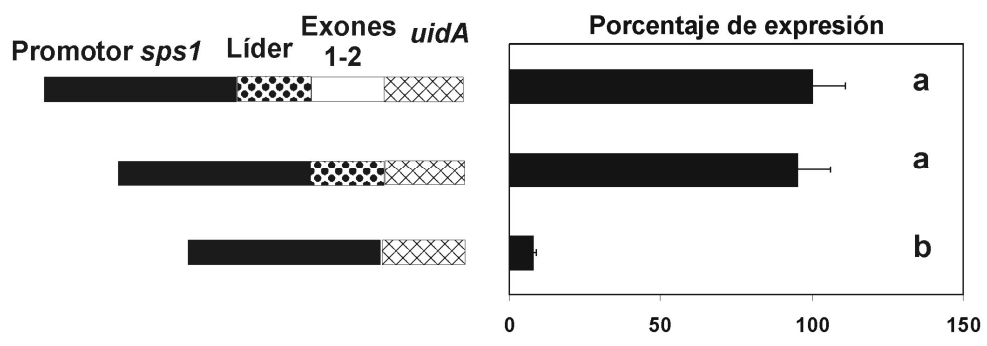


Figura 2. Efecto del líder y exones en la expresión de sps1. Los plásmidos con las construcciones uidA se muestran en la parte izquierda de la figura y representan lo siguiente: la construcción superior (pSPS1) contiene el fragmento -2195 a +676 con el promotor, líder, un intrón y dos exones; la construcción intermedia (pSPS2) contiene al promotor y al líder (-2195 a +368); la construcción inferior (pSPS3) tiene sólo al promotor más 20 bases hacia adelante (-2195 a +20). El porcentaje de expresión fue determinado de acuerdo a materiales y métodos y se muestra en la gráfica derecha con el intervalo de confianza.

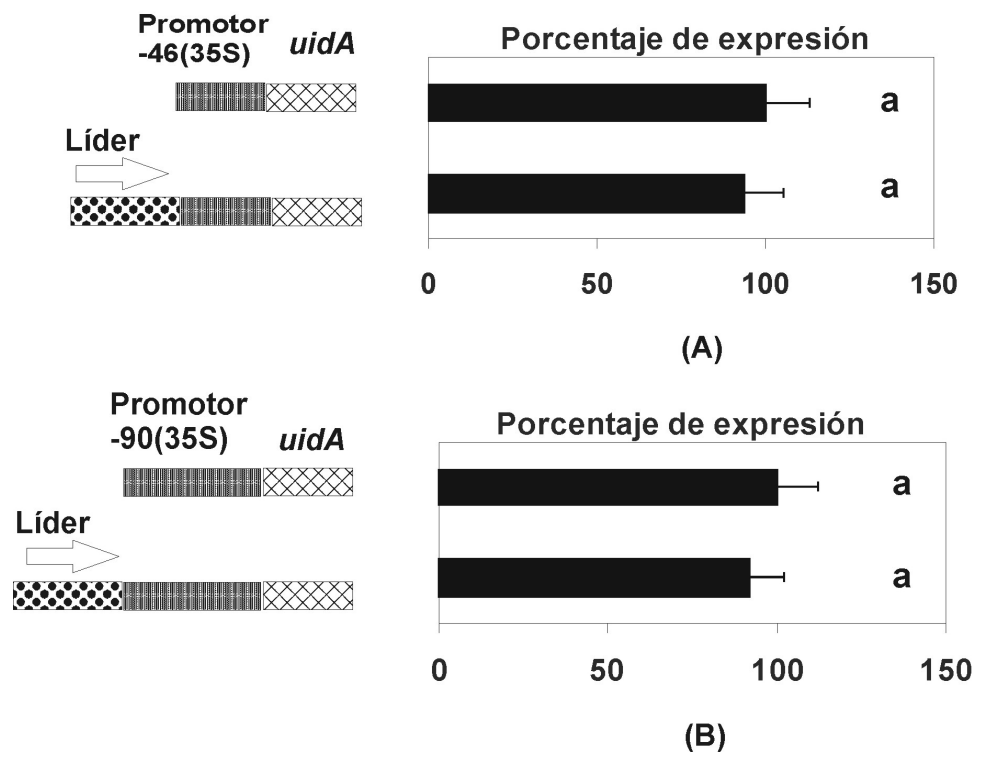


Figura 3. Análisis del efecto del líder sps1 ubicado hacia arriba (5') de promotores heterólogos. A) El líder de 368 nucleótidos fue insertado hacia arriba (5') del promotor -46(35S) que se encuentra fusionado al gen uidA (pUTR46). El porcentaje de expresión fue determinado de acuerdo a materiales y métodos y se muestra en la gráfica derecha con el intervalo de confianza. B) Lo mismo que en A pero insertando el líder sps1 hacia arriba (5') del promotor -90(35S) (pUTR90).

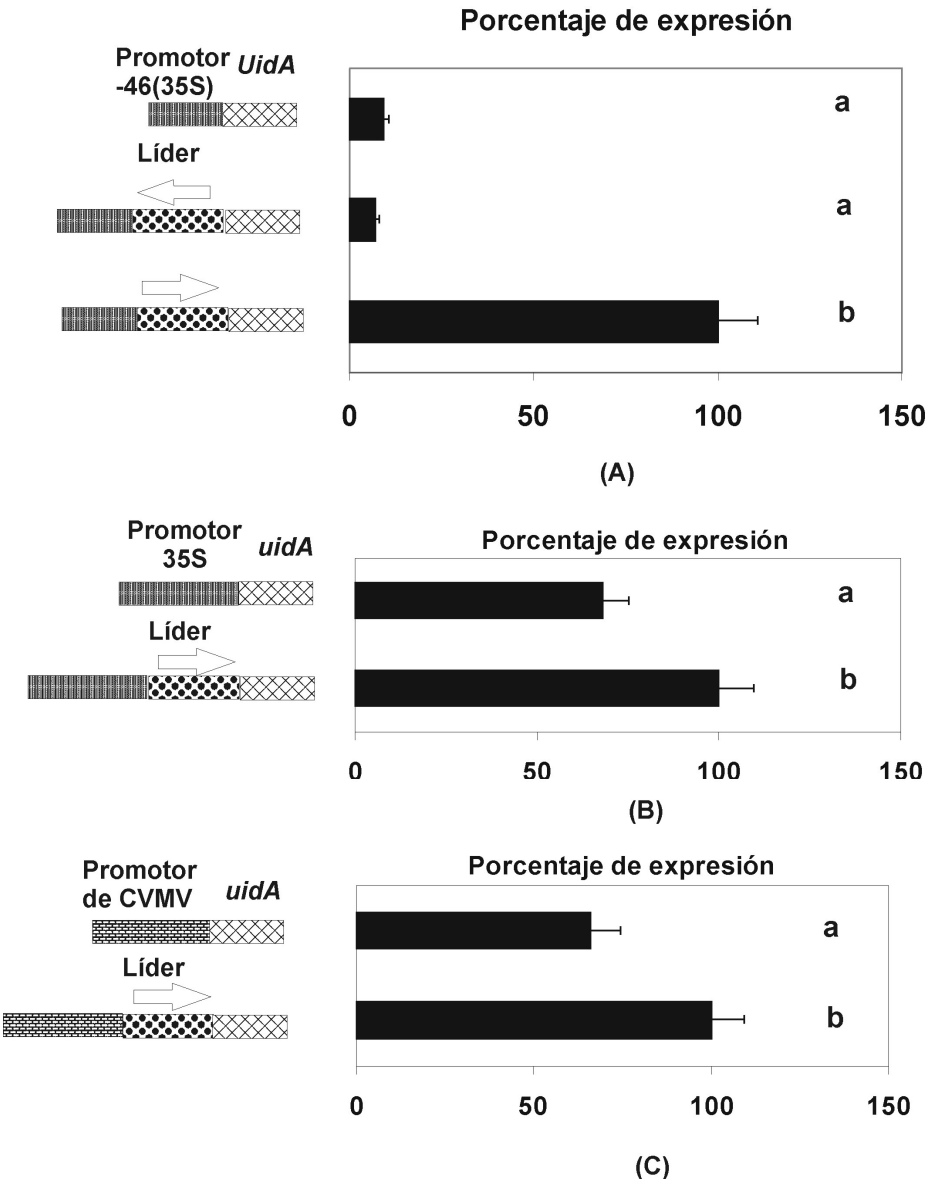


Figura 4. Efecto del líder sps1 colocado hacia abajo (3') de promotores heterólogos. A) Los plásmidos con fusiones del gen uidA se muestran en la parte izquierda de la figura. La construcción superior (pBS46) contiene al promotor -46(35S) fusionado al gen uidA. En la parte media la construcción p46UTR-INV contiene al líder sps1 colocado entre el promotor -46(35S) y el gen uidA, en la orientación inversa. En la parte inferior el vector p46UTR contiene al líder sps1 insertado entre el promotor -46(35S) y el gen uidA, en la orientación correcta. El porcentaje de expresión fue determinado de acuerdo a materiales y métodos y se muestra en la gráfica derecha con el intervalo de confianza. B) Similar a lo descrito en A utilizando el promotor completo CaMV 35S fusionado al líder sps1 y al gen uidA (p35S-UTR). C) Similar a lo descrito en A utilizando el promotor del Virus del Mosaico de la Vena de la Yuca fusionado al líder sps1 y al gen uidA (pCAS-UTR).

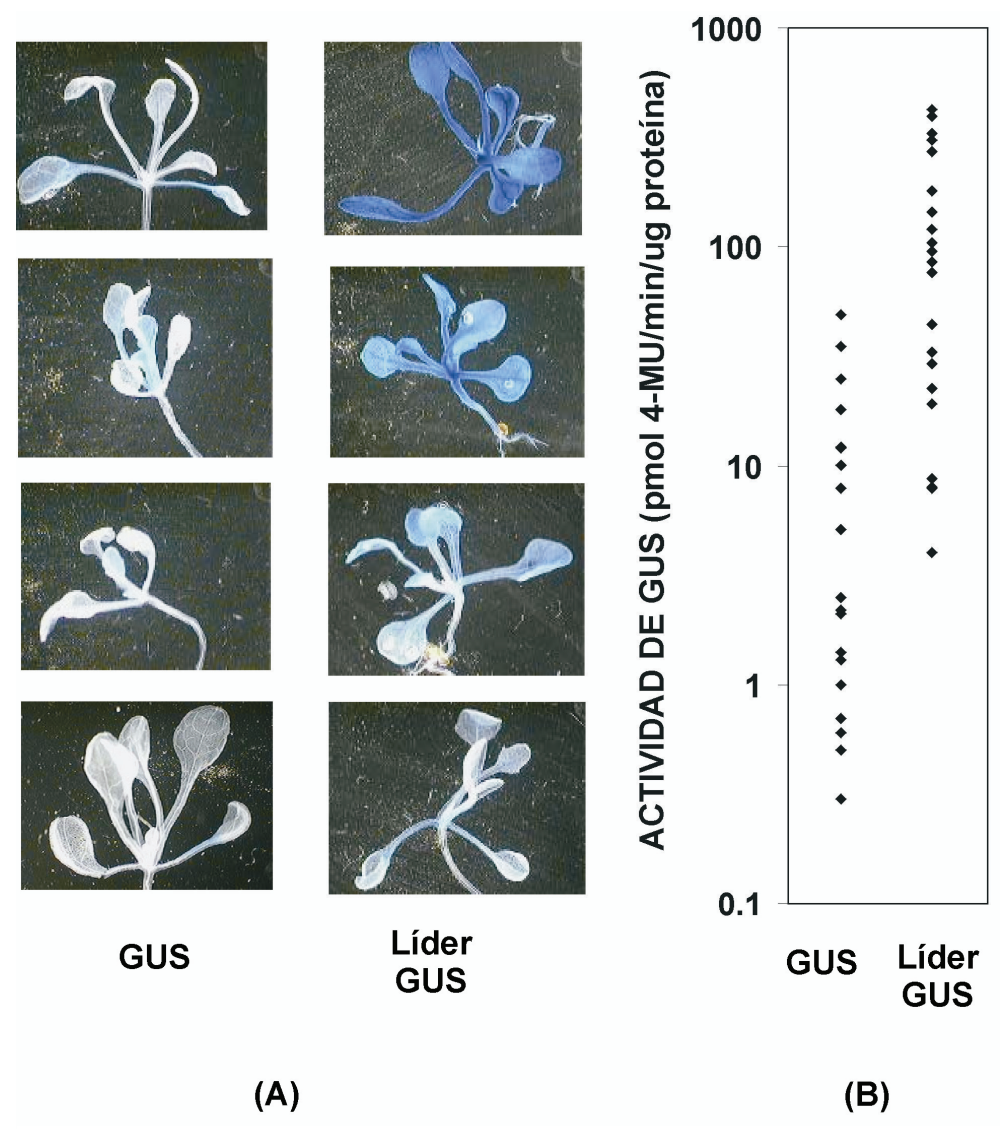
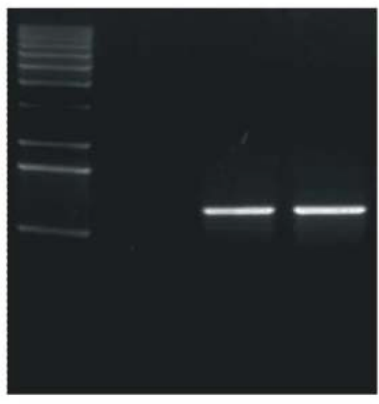


Figura 5. Actividad de GUS en plantas de *Arabidopsis thaliana*. Plantas de *Arabidopsis* fueron transformadas con el promotor -46(35S) fusionado al gen *uidA*, con y sin el líder *sps1* usando los vectores binarios p46BIN-UTR y p46BIN descritos en materiales y métodos. A) Plantas transformadas de 10 días de edad fueron analizadas mediante ensayos de expresión de GUS, tiñendo con x-gluc. Se representan 4 plantas representativas transformadas con cada construcción. B) Veinte plantas de 2 semanas de edad transformadas con cada construcción fueron analizadas para determinar la actividad de GUS en las hojas, utilizando el método fluorométrico (Martin 1992, Gallagher 1992). Cada punto en la gráfica representa el valor individual de una planta.





Ensayo	Radio (uidA/líder uidA)	
1	0.89	
2	1.10	
3	0.82	
4	0.95	
Promedio ± I.C.	0.94 ± 0.12	

Figura 6. Análisis de los niveles de transcritos uidA por RT-PCR. El ARN total de plantas de Arabidopsis transformadas y silvestres fue extraído y tratado con Dnasa I. Cuarenta plantas de Arabidopsis silvestres y transformadas con p46BIN y p46UTR-BIN fueron utilizadas para cada uno de los casos y fueron mezcladas por separado para tener una muestra representativa de cada población. Se extrajo el ARN total de acuerdo a como se menciona en materiales y métodos y utilizando la técnica de RT-PCR de dos pasos y 20 ciclos se amplificó un fragmento de 1201 nucleótidos del gen uidA. En la tabla derecha se presenta el radio de las concentraciones de ADN obtenido de 4 muestras provenientes de plantas transformadas sin y con la región líder sps1. M= Marcadores de peso molecular, C= control sin ADN, uidA= Con ADN aislado de plantas transformadas con p46BIN, L-uidA= Con ADN aislado de plantas transformadas con p46UTR-BIN.

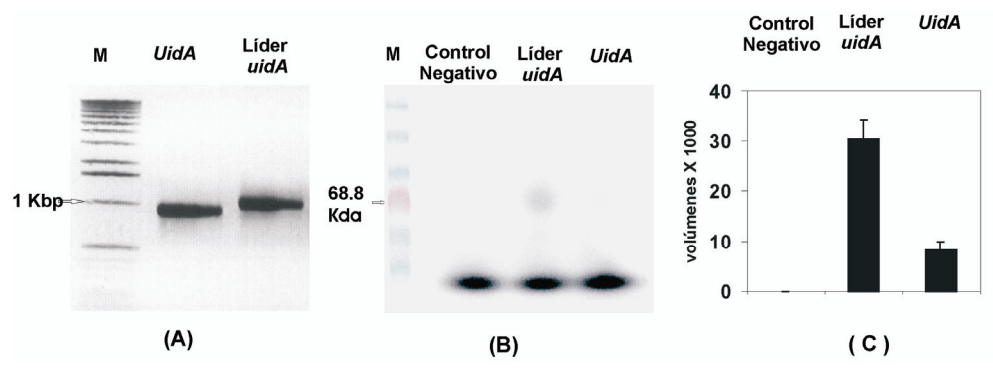


Figura 7. Transcripción y traducción in vitro. (A) A partir de los vectores pT7UTR-GUS y pT7-GUS se generaron transcritos del gen uidA con y sin la region líder sps1 usando un sistema de transcripción in vitro de acuerdo a como se describe en materiales y métodos. Los transcritos fueron separados en un gel de agarosa al 0.8% y visualizados mediante tinción con bromuro de etidio. Se utilizó como referencia el marcador de peso molecular de ADN de 1 Kbp de GIBCO-BRL. B) La traducción in vitro se llevó a cabo mediante un sistema de extractos de germen de trigo, 35 metionina y los transcritos uidA con y sin la región líder sps1, de acuerdo a como se describe en materiales y métodos. Las muestras de reacción fueron cargadas, movilizadas en un gel de poliacrilamida al 8% y la radiactividad fue visualizada en un Phosphoimager C) La radioactividad fue cuantificada exponiendo los geles secos en un cassette Phosphoimager por 12 horas y escaneando el cassette en un STORM (Molecular Dynamics). Finalmente se calcularon las áreas de radioactividad mediante el software ImageQuant (Molecular Dynamics). La gráfica muestra la media y el intervalo de confianza de 4 experimentos.

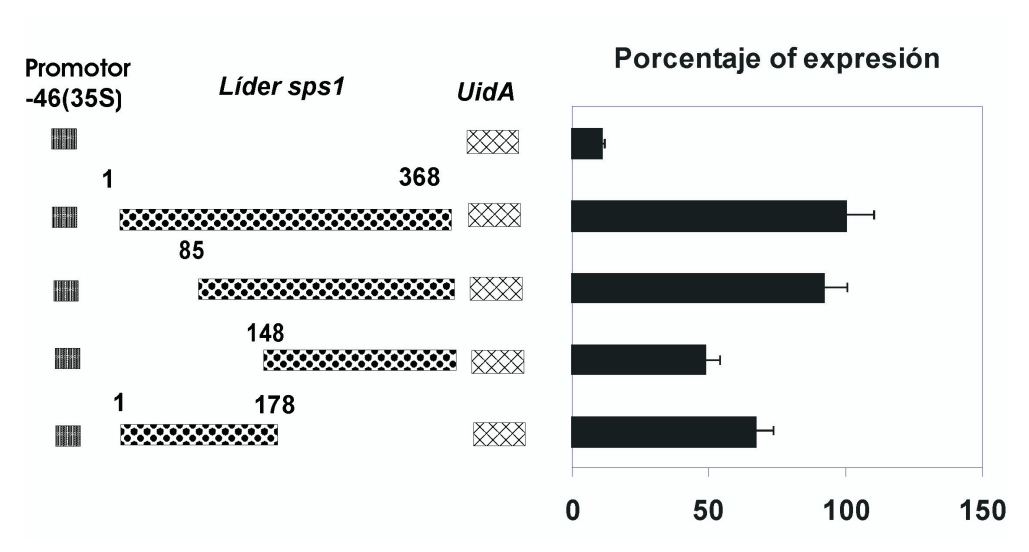


Figura 8. Análisis de deleciones de la región líder *sps1*. Se generaron diferentes deleciones del líder *sps1* y se insertaron entre el promotor -46(35S) y el gen *uidA*. Los plásmidos pBS46, p46UTR Δ 185, p46UTR Δ 148 y p46UTR Δ 190-3 fueron ensayados en hojas de tabaco determinado la expresión transitoria. Se muestra el porcentaje de expresión de 10 muestras analizadas para cada construcción y el intervalo de confianza.